

И. В. Украинец*, Е. В. Моспанова^a, А. А. Давиденко^б, С. В. Шишкина^в

4-ГИДРОКСИХИНОЛОНЫ-2

180*. СИНТЕЗ, ХИМИЧЕСКИЕ ПРЕВРАЩЕНИЯ И АНАЛЬГЕТИЧЕСКАЯ АКТИВНОСТЬ АЛКИЛАМИДОВ 1-АЛЛИЛ-4-ГИДРОКСИ-6,7-ДИМЕТОКСИ- 2-ОКСО-1,2-ДИГИДРОХИНОЛИН-3-КАРБОНОВОЙ КИСЛОТЫ

Осуществлён целенаправленный синтез серии алкиламидов 1-аллил-4-гидрокси-6,7-диметокси-2-оксо-1,2-дигидрохинолин-3-карбоновой кислоты, представляющих интерес для биологических испытаний в качестве потенциальных анальгетиков. Установлено, что в присутствии эквивалента молекулярного брома указанные соединения подвергаются галогенциклизации в соответствующие алкиламиды 2-бромметил-7,8-диметокси-5-оксо-1,2-дигидро-5Н-оксазоло[3,2-*a*]хинолин-4-карбоновой кислоты. Однако при избытке брома реакция проходит несколько иначе и заканчивается формированием комплексов дитрибромидов (4-алкилкарбамоил-2-бромметил-5-гидрокси-7,8-диметокси-1,2-дигидрооксазоло[3,2-*a*]хино- линия) с бромом. По результатам фармакологического скрининга среди полу-ченных веществ обнаружены соединения с высокой анальгетической активностью.

Ключевые слова: 4-гидрокси-2-оксо-1,2-дигидрохинолин-3-карбоксамиды, анальгетическая активность, амидирование, бромирование, галогенциклизация, PCA.

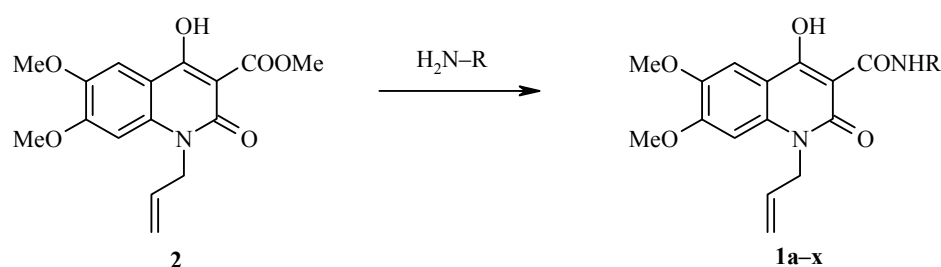
Проблема создания мощных и одновременно безопасных лекарственных препаратов, способных эффективно купировать боли различного происхождения, не теряет своей актуальности на протяжении всей истории человечества. При изучении биологической активности гидрохлоридов (диалкиламино)алкиламидов 1-аллил-4-гидрокси-6,7-диметокси-2-оксо-1,2-дигидрохинолин-3-карбоновой кислоты было замечено, что в зависимости от строения амидной части молекулы эти соединения могут либо проявлять свойства антагонистов опиоидных рецепторов, либо оказывать совершенно противоположный эффект, значительно продлевая обезболивающее действие наркотических анальгетиков [2]. Это наблюдение и послужило предпосылкой к проведению более широких исследований по целенаправленному изысканию в ряду производных 4-гидроксихинолонов-2 веществ с новым для этого класса соединений видом фармакологического воздействия на живой организм, а именно потенциальных анальгетиков.

В первой публикации, посвященной этой проблематике, были изучены 4-R-2-оксо-1,2-дигидрохинолин-3-карбоновые кислоты [3]. Следующий

* Сообщение 179 см. [1].

этап – их амидированные производные и, в частности, рассматриваемые в настоящем сообщении алкиламиды 1-аллил-4-гидрокси-6,7-диметокси-2-оксо-1,2-дигидрохинолин-3-карбоновой кислоты **1a–x**.

Синтез объектов исследования осуществлён амидированием метилового эфира **2** соответствующими алкиламинами по известным методикам, выбор которых определяется физическими свойствами используемых аминов и их пространственным строением [4]. Все полученные таким образом алкиламиды **1a–x** представляют собой не растворимые в воде кристаллические вещества без цвета, запаха и вкуса (табл. 1). Их строение подтверждено спектрами ЯМР ^1H , отнесение сигналов в которых трудностей не вызывает (табл. 2).



1 a R = Me, **b** R = Et, **c** R = All, **d** R = Pr, **e** R = *i*-Pr, **f** R = Bu, **g** R = *i*-Bu, **h** R = *s*-Bu,
i R = C_5H_{11} , **j** R = $\text{i-C}_5\text{H}_{11}$, **k** R = C_6H_{13} , **l** R = C_7H_{15} , **m** R = C_8H_{17} , **n** R = C_9H_{19} , **o** R = $\text{C}_{10}\text{H}_{21}$,
p R = $\text{C}_{12}\text{H}_{25}$, **q** R = $-(\text{CH}_2)_2\text{OH}$, **r** R = $-(\text{CH}_2)_3\text{OH}$, **s** R = $-(\text{CH}_2)_3\text{OMe}$, **t** R = $-(\text{CH}_2)_3\text{OPr-}i$,
u R = *cyclo-C*₃H₅, **v** R = *cyclo-C*₅H₉, **w** R = *cyclo-C*₆H₁₁, **x** R = *cyclo-C*₇H₁₃

Присутствие N(1)-аллильного заместителя в 4-гидрокси-2-оксохинолиновом ядре амидов **1a–x** предполагает возможность синтеза на их основе соответствующих производных 2-бромметил-7,8-диметокси-5-оксо-1,2-дигидро-5Н-оксазоло[3,2-*a*]хинолин-4-карбоновой кислоты. Проведённые нами ранее на примере изопропиламида **1e** исследования показали, что при взаимодействии с эквимолярным количеством молекулярного брома эти соединения действительно очень легко подвергаются галогениклизации в оксазоло[3,2-*a*]хинолины **3** [5]. Вместе с тем, специфика строения алкиламидов **1a–x**, заведомо делающая невозможным бромирование бензольной части хинолонового ядра и амидного фрагмента, позволяет выяснить ещё один интересный аспект протекания реакции бромациклизации 1-N-аллилхинолонов-2 – их поведение при обработке избытком брома.

Эксперимент проведён нами с тем же изопропиламидом **1e**. При этом установлено, что после прибавления к его раствору в ледяной уксусной кислоте пятикратного избытка брома практически сразу же образуется оранжевый кристаллический продукт, явно отличающийся по свойствам от бесцветного изопропиламида 2-бромметил-7,8-диметокси-5-оксо-1,2-дигидро-5Н-оксазоло[3,2-*a*]хинолин-4-карбоновой кислоты (**3**). В то же время, спектры ЯМР ^1H обоих образцов оказались удивительно схожими.

Таблица 1

Характеристики алкиламидов 1a–x*

Соединение	Брутто-формула	Найдено, %			T. пл., °C (EtOH)	Выход, %	Анальгети- ческая- активность**
		C	H	N			
1a	C ₁₆ H ₁₈ N ₂ O ₅	60.49 60.37	5.81 5.70	8.92 8.80	190–192	97	32.2
1b	C ₁₇ H ₂₀ N ₂ O ₅	61.53 61.44	6.18 6.07	8.35 8.43	169–171	95	24.0
1c	C ₁₈ H ₂₀ N ₂ O ₅	62.65 62.78	5.76 5.85	8.20 8.13	162–164	94	31.7
1d	C ₁₈ H ₂₂ N ₂ O ₅	62.31 62.42	6.33 6.40	7.96 8.09	157–159	91	9.7
1e	C ₁₈ H ₂₂ N ₂ O ₅	62.34 62.42	6.35 6.40	8.00 8.09	168–170	82	11.5
1f	C ₁₉ H ₂₄ N ₂ O ₅	63.43 63.32	6.83 6.71	7.85 7.77	151–153	90	11.4
1g	C ₁₉ H ₂₄ N ₂ O ₅	63.41 63.32	6.80 6.71	7.84 7.77	156–158	93	27.9
1h	C ₁₉ H ₂₄ N ₂ O ₅	63.26 63.32	6.62 6.71	7.68 7.77	160–162	83	26.0
1i	C ₂₀ H ₂₆ N ₂ O ₅	64.25 64.16	7.13 7.00	7.59 7.48	147–149	89	26.3
1j	C ₂₀ H ₂₆ N ₂ O ₅	64.27 64.16	7.11 7.00	7.60 7.48	155–157	90	28.7
1k	C ₂₁ H ₂₈ N ₂ O ₅	65.04 64.93	7.19 7.27	7.14 7.21	126–128	87	2.2
1l	C ₂₂ H ₃₀ N ₂ O ₅	65.52 65.65	7.37 7.51	7.08 6.96	113–115	90	20.0
1m	C ₂₃ H ₃₂ N ₂ O ₅	66.22 66.32	7.83 7.74	6.85 6.73	102–104	85	20.0
1n	C ₂₄ H ₃₄ N ₂ O ₅	67.07 66.95	8.05 7.96	6.44 6.51	90–92	88	5.6
1o	C ₂₅ H ₃₆ N ₂ O ₅	67.43 67.54	8.02 8.16	6.41 6.30	85–87	90	7.8
1p	C ₂₇ H ₄₀ N ₂ O ₅	68.53 68.62	8.40 8.53	5.84 5.93	81–83	92	21.8
1q	C ₁₇ H ₂₀ N ₂ O ₆	58.72 58.61	5.86 5.79	8.15 8.04	197–199	94	60.7
1r	C ₁₈ H ₂₂ N ₂ O ₆	59.54 59.66	6.03 6.12	7.84 7.73	164–166	91	31.0
1s	C ₁₉ H ₂₄ N ₂ O ₆	60.76 60.63	6.55 6.43	7.53 7.44	143–145	89	15.6
1t	C ₂₁ H ₂₈ N ₂ O ₆	62.47 62.36	7.11 6.98	7.02 6.93	105–107	87	26.9
1u	C ₁₈ H ₂₀ N ₂ O ₅	62.66 62.78	5.74 5.85	8.05 8.13	167–169	84	14.8
1v	C ₂₀ H ₂₄ N ₂ O ₅	64.42 64.50	6.39 6.50	7.44 7.52	174–176	85	11.4
1w	C ₂₁ H ₂₆ N ₂ O ₅	65.38 65.27	6.87 6.78	7.31 7.25	188–190	85	31.7
1x	C ₂₂ H ₂₈ N ₂ O ₅	66.10 65.98	7.13 7.05	7.10 6.99	171–173	81	30.2

* Аналгетическая активность Диклофенака 34.1, Кеторолака 46.4.

** Повышение порога болевой чувствительности, %.

Таблица 2

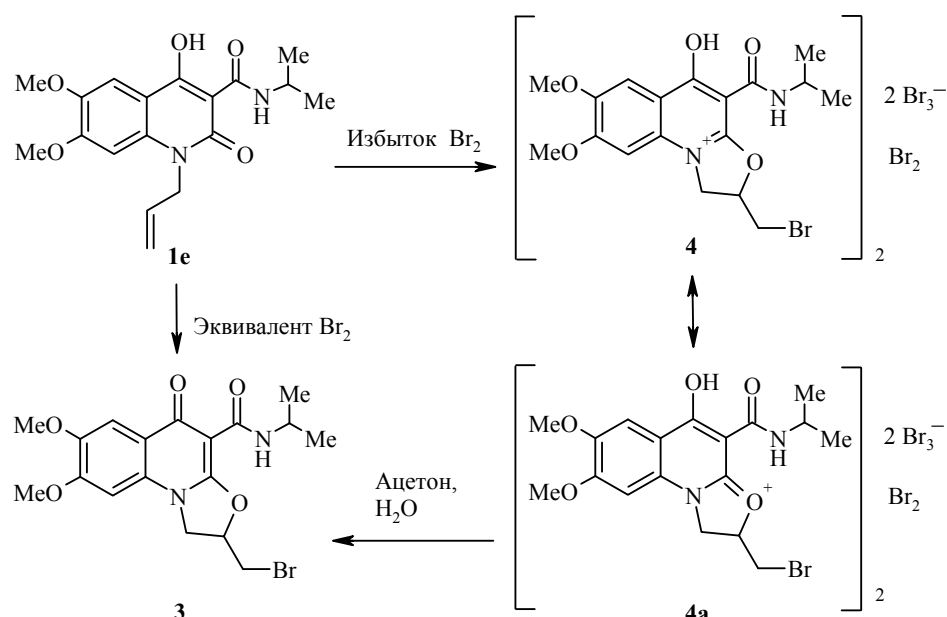
Спектры ЯМР ^1H алкиламидов 1-аллил-4-гидрокси-6,7-диметокси-2-оксо-1,2-дигидрохинолин-3-карбоновой кислоты 1a–x

Соединение	OH (1H, c)	NH (1H)	Н аром.				Химические сдвиги, δ , м. д. (J , Гц)			
			H-5 (1H, c), H-8 (1H, c)	CH (1H, M)	CH=CH- <i>cis</i> (1H, d)	CH=CH- <i>trans</i> (1H, d)	NCH ₂ (2H, d)	2OCH ₃ (3H, c), (3H, c)	R	
1	2	3	4	5	6	7	8	9	10	
1a	17.43	10.16 (κ , $J = 4.9$)	7.39, 6.90	5.92	5.13 ($J = 10.5$)	5.03 ($J = 17.3$)	4.94 ($J = 4.6$)	3.89, 3.82	2.88 (3H, d, $J = 4.9$, CH ₃)	
1b	17.49	10.29 (τ , $J = 5.6$)	7.38, 6.90	5.92	5.15 ($J = 10.4$)	5.03 ($J = 17.5$)	4.93 ($J = 4.5$)	3.89, 3.82	3.36 (2H, 1.15 (3H, t, $J = 7.1$, CH ₃)	6.9, NCH ₂ ;
1c	17.11	10.42	7.40, (τ , $J = 5.8$)	5.93	C _M . R	C _M . R	4.94 ($J = 4.7$)	3.90, 3.83	5.30–5.00 (4H, m, 2 CH=CH ₂) 4.00 (2H, t, $J = 5.4$, NHCH ₂)	
1d	17.44	10.34 (τ , $J = 5.6$)	7.37, 6.89	5.91	5.15 ($J = 10.6$)	5.04 ($J = 17.3$)	4.93 ($J = 4.5$)	3.89, 3.82	3.29 (2H, κ , $J = 6.6$, NCH ₂); NCH ₂ CH ₂); 0.91 (3H, t, $J = 7.5$, CH ₃) 4.08 (1H, m, CH); 1.20 (6H, d, $J = 6.8$,	M,
1e	17.43	10.27 (Δ_s , $J = 7.4$)	7.36, 6.88	5.91	5.14 ($J = 10.6$)	5.04 ($J = 17.4$)	4.92 ($J = 4.4$)	3.89, 3.82	3.35 (2H, κ , $J = 6.9$, NCH ₂); J = 7.1, CH ₂ CH ₂ CH ₃); 1.34 (2H, m, CH ₂ CH ₃); 0.90 (3H, t, $J = 7.2$, CH ₃)	
1f	17.43	10.33	7.38, (τ , $J = 5.7$)	5.91	5.15 ($J = 10.6$)	5.03 ($J = 17.2$)	4.93 ($J = 4.4$)	3.89, 3.82	3.19 (2H, τ , $J = 6.3$, NCH ₂); CH); 0.91 (6H, d, $J = 6.7$, 2CH ₃)	
1g	17.40	10.42 (τ , $J = 5.8$)	7.37, 6.89	5.92	5.15 ($J = 10.5$)	5.03 ($J = 17.4$)	4.94 ($J = 4.4$)	3.89, 3.82	3.97 (1H, m, CH); CH ₂ CH ₃); 1.18 (3H, d, $J = 6.5$, NCHCH ₃); 0.90 (3H, t, $J = 7.4$, CH ₂ CH ₃)	
1h	17.37	10.28 (Δ , $J = 7.4$)	7.41, 6.92	5.93	5.16 ($J = 10.6$)	5.07 ($J = 17.6$)	4.94 ($J = 4.2$)	3.90, 3.83		

1i	17.43	10.33 ($\tau, J = 5.8$)	7.37, 6.89	5.91 ($J = 10.6$)	5.15 ($J = 17.6$)	5.03 ($J = 17.6$)	4.93 ($J = 4.2$)	3.89, 3.82
1j	17.39	10.31 ($\tau, J = 5.5$)	7.36, 6.89	5.90 ($J = 10.5$)	5.14 ($J = 10.5$)	5.02 ($J = 17.4$)	4.93 ($J = 4.2$)	3.88, 3.82
1k	17.44	10.31 ($\tau, J = 5.6$)	7.34, 6.87	5.91 ($J = 10.5$)	5.14 ($J = 10.5$)	5.03 ($J = 17.5$)	4.92 ($J = 4.3$)	3.88, 3.81
1l	17.45	10.32 ($\tau, J = 5.8$)	7.36, 6.88	5.91 ($J = 10.6$)	5.14 ($J = 10.6$)	5.03 ($J = 17.5$)	4.93 ($J = 4.2$)	3.88, 3.81
1m	17.44	10.33 ($\tau, J = 5.6$)	7.39, 6.91	5.92 ($J = 10.4$)	5.15 ($J = 10.4$)	5.03 ($J = 17.2$)	4.94 ($J = 4.3$)	3.89, 3.82
1n	17.42	10.32 ($\tau, J = 5.7$)	7.36, 6.88	5.90 ($J = 10.6$)	5.14 ($J = 10.6$)	5.03 ($J = 17.5$)	4.92 ($J = 4.1$)	3.88, 3.81
1o	17.39	10.31 ($\tau, J = 5.7$)	7.36, 6.88	5.92 ($J = 10.6$)	5.14 ($J = 10.6$)	5.04 ($J = 17.5$)	4.93 ($J = 4.1$)	3.88, 3.81
1p	17.43	10.32 ($\tau, J = 5.6$)	7.36, 6.89	5.91 ($J = 10.6$)	5.15 ($J = 10.6$)	5.03 ($J = 17.7$)	4.93 ($J = 4.0$)	3.88, 3.81
								0.81 (3H, $\tau, J = 6.5$, CH_3)
								3.35 (2H, $\kappa, J = 6.4$, NCH_2); 1.54 (2H, κ_B , $J = 6.4$, NCH_2CH_2); 1.29 (4H, M , $(\text{CH}_2)_2\text{CH}_3$); 0.86 (3H, $\tau, J = 6.5$, CH_3)
								3.36 (2H, $\kappa, J = 6.7$, NCH_2); 1.61 (1H, M , CH); 1.43 (2H, $\kappa, J = 6.8$, NCH_2CH_2); 0.90 (6H, $\pi, J = 6.7$, 2CH_3)
								3.35 (2H, $\kappa, J = 5.8$, NCH_2); 1.53 (2H, κ_B , $J = 6.0$, NCH_2CH_2); 1.27 (6H, M , $(\text{CH}_2)_3\text{CH}_3$); 0.84 (3H, $\tau, J = 6.5$, CH_3)
								3.31 (2H, $\kappa, J = 6.4$, NCH_2); 1.52 (2H, κ_B , $J = 6.4$, NCH_2CH_2); 1.26 (8H, M , $(\text{CH}_2)_4\text{CH}_3$); 0.83 (3H, $\tau, J = 6.5$, CH_3)
								3.38 (2H, $\kappa, J = 6.3$, NCH_2); 1.53 (2H, κ_B , $J = 6.4$, NCH_2CH_2); 1.25 (10H, M , $(\text{CH}_2)_5\text{CH}_3$); 0.83 (3H, $\tau, J = 6.6$, CH_3)
								3.31 (2H, $\kappa, J = 6.4$, NCH_2); 1.52 (2H, κ_B , $J = 6.5$, NCH_2CH_2); 1.24 (12H, M , $(\text{CH}_2)_6\text{CH}_3$); 0.82 (3H, $\tau, J = 6.5$, CH_3)
								3.35 (2H, $\kappa, J = 6.4$, NCH_2); 1.51 (2H, κ_B , $J = 6.5$, NCH_2CH_2); 1.21 (14H, M , $(\text{CH}_2)_7\text{CH}_3$); 0.80 (3H, $\tau, J = 6.6$, CH_3)
								3.37 (2H, $\kappa, J = 6.3$, NCH_2); 1.53 (2H, κ_B , $J = 6.5$, NCH_2CH_2); 1.20 (18H, M , $(\text{CH}_2)_9\text{CH}_3$); 0.81 (3H, $\tau, J = 6.5$, CH_3)

Окончание таблицы 2

	1	2	3	4	5	6	7	8	9	10
1q	17.37	10.41 ($\tau, J = 5.4$)	7.41, 6.91	5.93	5.16 ($J = 10.3$)	5.06 ($J = 17.2$)	4.94 ($J = 4.4$)	3.90, 3.83	4.80 (1H, $\tau, J = 4.8$, OH); 3.56 (2H, $\kappa, J = 5.7$, NCH ₂ CH ₂)	
1r	17.40	10.30 ($\tau, J = 5.3$)	7.39, 6.90	5.92	5.15 ($J = 10.4$)	5.04 ($J = 17.5$)	4.93 ($J = 4.4$)	3.89, 3.82	3.42 (2H, $\kappa, J = 5.7$, NCH ₂ CH ₂) 4.45 (1H, $\tau, J = 4.6$, OH); 3.44 (4H, M_c , NCH ₂ CH ₂ CH ₂ O); 1.69 (2H, $\kappa_\text{b}, J = 6.5$, NCH ₂ CH ₂ CH ₂ O)	
1s	17.38	10.32 ($\tau, J = 5.5$)	7.40, 6.91	5.91	5.15 ($J = 10.5$)	5.03 ($J = 17.4$)	4.93 ($J = 4.3$)	3.88, 3.81	3.39 (4H, M_c , NCH ₂ CH ₂ CH ₂ O); 3.25 (3H, c , OCH ₃); 1.77 (2H, $\kappa_\text{b}, J = 6.5$, NCH ₂ CH ₂ CH ₂ O)	
1t	17.42	10.31 ($\tau, J = 5.6$)	7.41, 6.91	5.92	5.14 ($J = 10.5$)	5.03 ($J = 17.5$)	4.94 ($J = 4.2$)	3.89, 3.81	3.51 (1H, M_c , CH); 3.41 (4H, M_c , NCH ₂ CH ₂ CH ₂ O); 1.74 (2H, $\kappa_\text{b}, J = 6.5$, NCH ₂ CH ₂ CH ₂ O); 1.08 (6H, $\Delta_\text{c}, J = 6.1$, 2CH ₃)	
1u	17.03	10.29	7.39, 6.90	5.90	5.14 ($J = 10.5$)	5.01 ($J = 17.4$)	4.92 ($J = 4.4$)	3.89, 3.82	2.90 (1H, M_c , CH); 0.78 (2H, M_c , CH ₂ циклопропана); 0.60 (2H, M_c , CH ₂ циклопропана)	
1v	17.33	10.37 ($\Delta_\text{c}, J = 6.6$)	7.39, 6.89	5.91	5.16 ($J = 10.6$)	5.05 ($J = 17.7$)	4.91 ($J = 4.5$)	3.89, 3.83	4.24 (1H, M_c , CH); 2.02–1.43 (8H, M_c , цикlopентана)	
1w	17.40	10.39 ($\Delta_\text{c}, J = 7.6$)	7.37, 6.90	5.91	5.15 ($J = 10.6$)	5.03 ($J = 17.4$)	4.93 ($J = 4.1$)	3.88, 3.82	3.79 (1H, M_c , CH); 1.94–1.18 (10H, M_c , (CH ₂) ₅ циклогексана)	
1x	17.41	10.44 ($\Delta_\text{c}, J = 7.8$)	7.39, 6.91	5.91	5.15 ($J = 10.6$)	5.04 ($J = 17.8$)	4.94 ($J = 4.0$)	3.89, 3.82	4.02 (1H, M_c , CH); 1.95–1.44 (12H, M_c , (CH ₂) ₆ циклогептана)	

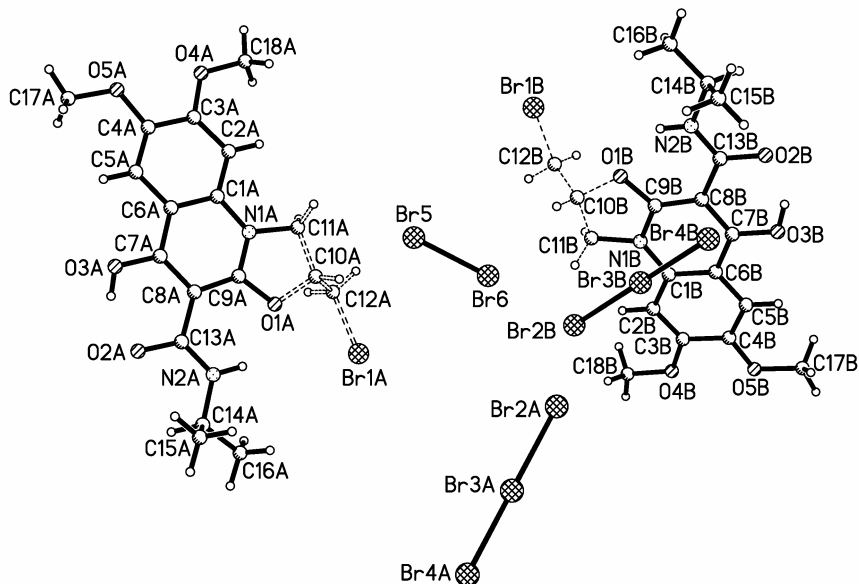


Наиболее существенное различие между ними – сдвиг в сильное поле и уширение сигнала протона группы NH. Следовательно, факт замыкания оксазольного цикла можно считать подтверждённым. К сожалению, из-за плохой растворимости образовавшегося вещества никакой другой полезной информации с помощью спектроскопии ЯМР получить не удалось.

Однозначное решение возникшей структурной задачи найдено нами в результате проведённого РСА, показавшего, что исследуемый продукт является дитрибромидом ди(2-бромметил-5-гидрокси-7,8-диметокси-4-изопропилкарбамоил-1,2-дигидрооксазоло[3,2-*a*]хинолиния) (**4**). В независимой части элементарной ячейки этого соединения находятся две молекулы **A** и **B**, различающиеся некоторыми геометрическими параметрами и несущие положительный заряд, два аниона Br_3^- и нейтральная молекула брома, разупорядоченная по четырём положениям с заселённостью конформеров 70:15:14:1% (см. рисунок, табл. 3 и 4).

Хинолиновые ядра с атомами O(1), C(11), O(3) и C(13) в обеих молекулах лежат в одной плоскости с точностью 0.02 Å, несмотря на наличие укороченного внутримолекулярного контакта H(2)...C(11) 2.67 в **A** и 2.65 Å в **B** (сумма ван-дер-ваальсовых радиусов 2.87 Å [6]). Длины связей N(1)-C(9) 1.33(1) в **A**, 1.34(1) в **B** и O(1)-C(9) 1.34(1) в **A**, 1.33(1) Å в **B** несколько укорочены по сравнению с их средними значениями 1.355 и 1.370 Å [7], вследствие чего строение органического катиона можно представить как резонансный гибрид двух канонических структур **4** и **4a**.

Удлинение связей C(7)-C(8) до 1.41(1) в **A** и 1.40(1) Å в **B** с одновременным укорочением связей C(8)-C(9) до 1.39(1) Å в **A** и **B** по сравнению с их средними значениями 1.340 и 1.455 Å позволяет предположить делокализацию электронной плотности в этом фрагменте вследствие сильных конъюгационных взаимодействий между π -донорной гидроксильной группой и π -акцепторным положительно заряженным фрагментом N(1)-C(9)-O(1). Пятичленный гетероцикл в молекулах **A** и **B** разупорядочен по



Два конформера (**A** и **B**) органического катиона дитрибромида дихинолиния **4** с сольватными молекулами брома и триброманионов с нумерацией атомов.
Показаны наиболее заселенные части разупорядоченных фрагментов

двум конформациям конверт с заселённостью 69:31 в **A** и 66:34 % в **B**. Отклонения атома C(10) от среднеквадратичной плоскости остальных атомов цикла составляет 0.23 и -0.47 Å в молекуле **A** и 0.23 и -0.43 Å в молекуле **B**.

Заместитель при атоме C(8) практически копланарен плоскости хинолинового фрагмента (торсионный угол C(7)-C(8)-C(13)-O(2) 6(1)° в **A** и **B**). Такая конформация заместителя, очевидно, стабилизирована внутримолекулярными водородными связями N(2)-H(2)...O(1) (H...O 2.09 Å, N-H...O 135° в **A** и H...O 2.11 Å, N-H...O 134° в **B**), O(3)-H(3)...O(2) (H...O 1.72 Å, O-H...O 146° в **A** и H...O 1.71 Å, O-H...O 146° в **B**). Изопропильная группа находится в *ap*-конформации относительно связи C(13)-C(8) (торсионный угол C(14)-N(2)-C(13)-C(8) 177.7(8)° в **A**, 177.5(8)° в **B**) и развернута относительно связи C(13)-N(2) (торсионный угол C(13)-N(2)-C(14)-H(14) 39° в **A** и 41° в **B**). Заместитель при атоме C(10) во всех конформерах занимает экваториальное положение (торсионный угол C(9)-O(1)-C(10)-C(12) составляет -127(1)° в **A**, 159(2)° в **B**, -127(1)° в **C** и 159(3)° в **D**), а атом брома имеет *sc*-ориентацию относительно связи O(1)-C(10) (торсионный угол O(1)-C(10)-C(12)-Br(1) равен -71(1)°, -70(1)° в **A**, 59(3)°, 64(4)° в **B**). Метоксигруппы при атомах C(3) и C(4) практически копланарны плоскости ароматического цикла (торсионные углы C(18)-O(4)-C(3)-C(2) 6(2)° в **A**, 2(2)° в **B** и C(17)-O(5)-C(4)-C(5) -2(1)° в **A**, -1(1)° в **B**), несмотря на заметное отталкивание между метильными группами и атомами бензольного кольца [укороченные внутримолекулярные контакты H(2)...C(18) 2.52 в **A** и 2.55 Å в **B** (2.87 Å), H(2)...H(18A) 2.27 в **A** (2.34), H(18A)...C(2) 2.70 в **A** и 2.76 Å в **B** (2.87 Å), H(18C)...C(2) 2.80 в **A** и 2.81 Å в **B** (2.87 Å), H(5)...C(17) 2.49 в **A** и

2.52 Å в **B** (2.87 Å), H(5)…H(17A) 2.29 Å в **A** и **B** (2.34 Å), H(5)…H(17C) 2.27 Å в **A** (2.34 Å), H(17A)…C(5) 2.74 в **A** и 2.75 Å в **B** (2.87 Å), H(17C)…C(5) 2.70 в **A** и 2.76 Å в **B** (2.87 Å)].

Таблица 3

Длины связей (*l*) в структуре дитрибромида дихинолиния 4

Связь	<i>l</i> , Å	Связь	<i>l</i> , Å
Br(5)–Br(6)	2.362(4)	Br(5A)–Br(6A)	2.399(9)
Br(5B)–Br(6B)	1.85(2)	Br(6B)–Br(6C)	1.5(2)
Br(2A)–Br(3A)	2.589(2)	Br(3A)–Br(4A)	2.490(2)
Br(1A)–C(12C)	1.79(3)	Br(1A)–C(12A)	2.00(2)
N(1A)–C(9A)	1.33(1)	N(1A)–C(1A)	1.38(1)
N(1A)–C(11A)	1.49(1)	N(2A)–C(13A)	1.30(1)
N(2A)–C(14A)	1.46(1)	O(1A)–C(9A)	1.34(1)
O(1A)–C(10C)	1.442(5)	O(1A)–C(10A)	1.445(5)
O(2A)–C(13A)	1.26(1)	O(3A)–C(7A)	1.32(1)
O(4A)–C(3A)	1.35(1)	O(4A)–C(18A)	1.44(1)
O(5A)–C(4A)	1.38(1)	O(5A)–C(17A)	1.41(1)
C(1A)–C(2A)	1.39(1)	C(1A)–C(6A)	1.42(1)
C(2A)–C(3A)	1.40(2)	C(3A)–C(4A)	1.39(2)
C(4A)–C(5A)	1.36(1)	C(5A)–C(6A)	1.41(1)
C(6A)–C(7A)	1.43(1)	C(7A)–C(8A)	1.41(1)
C(8A)–C(9A)	1.39(1)	C(8A)–C(13A)	1.47(1)
C(10A)–C(12A)	1.538(5)	C(10A)–C(11A)	1.540(5)
C(10C)–C(12C)	1.539(5)	C(10C)–C(11A)	1.540(5)
C(14A)–C(16A)	1.51(1)	C(14A)–C(15A)	1.55(1)
Br(2B)–Br(3B)	2.596(2)	Br(3B)–Br(4B)	2.491(2)
Br(1B)–C(12D)	1.77(5)	Br(1B)–C(12B)	2.03(2)
N(1B)–C(9B)	1.34(1)	N(1B)–C(1B)	1.37(1)
N(1B)–C(11B)	1.47(1)	N(2B)–C(13B)	1.31(1)
N(2B)–C(14B)	1.47(1)	O(1B)–C(9B)	1.33(1)
O(1B)–C(10D)	1.442(5)	O(1B)–C(10B)	1.442(5)
O(2B)–C(13B)	1.27(1)	O(3B)–C(7B)	1.31(1)
O(4B)–C(3B)	1.35(1)	O(4B)–C(18B)	1.44(1)
O(5B)–C(4B)	1.37(1)	O(5B)–C(17B)	1.43(1)
C(1B)–C(2B)	1.39(1)	C(1B)–C(6B)	1.40(1)
C(2B)–C(3B)	1.38(2)	C(3B)–C(4B)	1.42(2)
C(4B)–C(5B)	1.36(1)	C(5B)–C(6B)	1.42(1)
C(6B)–C(7B)	1.43(1)	C(7B)–C(8B)	1.40(1)
C(8B)–C(9B)	1.39(1)	C(8B)–C(13B)	1.48(1)
C(10B)–C(12B)	1.538(5)	C(10B)–C(11B)	1.540(5)
C(10D)–C(12D)	1.539(5)	C(10D)–C(11B)	1.541(5)
C(14B)–C(16B)	1.51(1)	C(14B)–C(15B)	1.52(1)

Таблица 4

Валентные углы (ω) в структуре дитрибромида дихинолиния 4

Угол	ω , град.	Угол	ω , град.
Br(4A)–Br(3A)–Br(2A)	179.04(7)	Br(4B)–Br(3B)–Br(2B)	179.07(7)
C(9A)–N(1A)–C(1A)	122.9(9)	C(9B)–N(1B)–C(1B)	122.4(9)
C(9A)–N(1A)–C(11A)	111.3(8)	C(9B)–N(1B)–C(11B)	111.1(8)
C(1A)–N(1A)–C(11A)	125.8(8)	C(1B)–N(1B)–C(11B)	126.5(8)
C(13A)–N(2A)–C(14A)	123.3(9)	C(13B)–N(2B)–C(14B)	123.5(8)
C(9A)–O(1A)–C(10C)	106(1)	C(9B)–O(1B)–C(10D)	107(1)
C(9A)–O(1A)–C(10A)	109.3(7)	C(9B)–O(1B)–C(10B)	109.7(8)
C(3A)–O(4A)–C(18A)	118.8(9)	C(3B)–O(4B)–C(18B)	118.9(9)
C(4A)–O(5A)–C(17A)	117.3(8)	C(4B)–O(5B)–C(17B)	117.8(8)
N(1A)–C(1A)–C(2A)	121.7(9)	N(1B)–C(1B)–C(2B)	121.3(9)
N(1A)–C(1A)–C(6A)	117.4(9)	N(1B)–C(1B)–C(6B)	118.3(9)
C(2A)–C(1A)–C(6A)	120.8(9)	C(2B)–C(1B)–C(6B)	120(1)
C(1A)–C(2A)–C(3A)	118.1(9)	C(3B)–C(2B)–C(1B)	119(1)
O(4A)–C(3A)–C(4A)	115(1)	O(4B)–C(3B)–C(2B)	125(1)
O(4A)–C(3A)–C(2A)	123.4(9)	O(4B)–C(3B)–C(4B)	114(1)
C(4A)–C(3A)–C(2A)	121.4(9)	C(2B)–C(3B)–C(4B)	120.6(9)
C(5A)–C(4A)–O(5A)	124(1)	C(5B)–C(4B)–O(5B)	125(1)
C(5A)–C(4A)–C(3A)	121(1)	C(5B)–C(4B)–C(3B)	120(1)
O(5A)–C(4A)–C(3A)	114.8(9)	O(5B)–C(4B)–C(3B)	114.9(9)
C(4A)–C(5A)–C(6A)	119(1)	C(4B)–C(5B)–C(6B)	119(1)
C(5A)–C(6A)–C(1A)	119.4(9)	C(5B)–C(6B)–C(1B)	119.9(9)
C(5A)–C(6A)–C(7A)	121.9(9)	C(5B)–C(6B)–C(7B)	121.1(9)
C(1A)–C(6A)–C(7A)	118.6(9)	C(1B)–C(6B)–C(7B)	119.0(9)
O(3A)–C(7A)–C(8A)	120.8(9)	O(3B)–C(7B)–C(8B)	119.8(9)
O(3A)–C(7A)–C(6A)	117.2(9)	O(3B)–C(7B)–C(6B)	118.9(9)
C(8A)–C(7A)–C(6A)	122.0(9)	C(8B)–C(7B)–C(6B)	121.3(9)
C(9A)–C(8A)–C(7A)	114.8(9)	C(9B)–C(8B)–C(7B)	115.8(9)
C(9A)–C(8A)–C(13A)	125.1(9)	C(9B)–C(8B)–C(13B)	123.9(9)
C(7A)–C(8A)–C(13A)	120.0(9)	C(7B)–C(8B)–C(13B)	120.3(9)
N(1A)–C(9A)–O(1A)	111.6(8)	N(1B)–C(9B)–O(1B)	111.3(9)
N(1A)–C(9A)–C(8A)	124(1)	N(1B)–C(9B)–C(8B)	123.2(9)
O(1A)–C(9A)–C(8A)	124.1(9)	O(1B)–C(9B)–C(8B)	125.4(9)
O(1A)–C(10A)–C(12A)	105(1)	O(1B)–C(10B)–C(12B)	107(1)
O(1A)–C(10A)–C(11A)	105.2(7)	O(1B)–C(10B)–C(11B)	104.6(8)
C(12A)–C(10A)–C(11A)	106(1)	C(12B)–C(10B)–C(11B)	105(1)
C(10A)–C(12A)–Br(1A)	108.6(8)	C(10B)–C(12B)–Br(1B)	107.9(9)
O(1A)–C(10C)–C(12C)	111(2)	O(1B)–C(10D)–C(12D)	109(2)
O(1A)–C(10C)–C(11A)	105.3(8)	O(1B)–C(10D)–C(11B)	104.5(8)
C(12C)–C(10C)–C(11A)	118(2)	C(12D)–C(10D)–C(11B)	122(3)
C(10C)–C(12C)–Br(1A)	116(2)	C(10D)–C(12D)–Br(1B)	117(3)
N(1A)–C(11A)–C(10C)	97(1)	N(1B)–C(11B)–C(10B)	101.0(8)
N(1A)–C(11A)–C(10A)	100.3(7)	N(1B)–C(11B)–C(10D)	98(1)
O(2A)–C(13A)–N(2A)	121.6(9)	O(2B)–C(13B)–N(2B)	121.0(9)
O(2A)–C(13A)–C(8A)	117.3(9)	O(2B)–C(13B)–C(8B)	117.2(9)
N(2A)–C(13A)–C(8A)	121.1(9)	N(2B)–C(13B)–C(8B)	121.8(9)
N(2A)–C(14A)–C(16A)	109.2(8)	N(2B)–C(14B)–C(16B)	108.3(8)
N(2A)–C(14A)–C(15A)	109.6(8)	N(2B)–C(14B)–C(15B)	110.0(8)
C(16A)–C(14A)–C(15A)	111.3(8)	C(16B)–C(14B)–C(15B)	113.2(8)
Br(6C)–Br(6B)–Br(5B)	141(7)	C(10B)–C(11B)–C(10D)	25(2)

В кристалле дитрибромид дихинолиния **4** образует стопки вдоль кристаллографического направления [0 0 1] за счёт межмолекулярных водородных связей: C(10A)–H(10A)…Br(5B)' H…Br 2.69 Å, C–H…Br 135°; C(10B)–H(10B)…Br(4A)' (x, 0.5–y, –0.5+z) H…Br 2.83 Å, C–H…Br 139°; C(12C)–H(12C)…Br(5B)' H…Br 2.56 Å, C–H…Br 132°; C(12C)–H(12D)…Br(6)' (x, 0.5–y, –0.5+z) H…Br 2.86 Å, C–H…Br 135°; C(11A)–H(11A)…Br(2A)' (x, 0.5–y, –0.5+z) H…Br 2.77 Å, C–H…Br 135°; C(10D)–H(10D)…Br(6B)' H…Br 2.79 Å, C–H…Br 132°; C(12D)–H(12G)…Br(6B)' H…Br 2.73 Å, C–H…Br 121°.

Кроме того, в исследуемом кристалле обнаружена весьма разветвлённая сеть укороченных межмолекулярных контактов: H(10A)…Br(5)' 3.13 (сумма ван-дер-ваальсовых радиусов 3.23 Å), H(12A)…Br(6)' (x, 0.5–y, –0.5+z) 3.04, H(12B)…Br(4A)' (x, 0.5–y, –0.5+z) 3.16, H(12B)…Br(1A)' (x, 0.5–y, –0.5+z) 2.98, H(12C)…Br(5A)' (x, 0.5–y, –0.5+z) 3.00, H(12D)…Br(5)' (x, 0.5–y, –0.5+z) 2.94, H(12D)…Br(5A)' (x, 0.5–y, –0.5+z) 3.03, H(11A)…Br(2B)' (x, 0.5–y, –0.5+z) 2.90, H(11B)…Br(3A)' (x, 0.5–y, –0.5+z) 2.91, H(11B)…Br(4A)' (x, 0.5–y, –0.5+z) 3.15, H(15A)…Br(4A)' (x, 0.5–y, –0.5+z) 3.14, H(17D)…Br(3A)' (x, y–1, z–1) 2.93, H(18D)…C(3B)' (x, 0.5–y, –0.5+z) 2.77 (2.87), H(18F)…Br(2B)' (x, 0.5–y, –0.5+z) 3.07, H(2BB)…Br(2A)' (x, y, z–1) 2.96, H(10D)…Br(6)' 3.12, H(10D)…Br(5C)' 1.70, H(12E)…Br(5)' (x, 0.5–y, –0.5+z) 2.98, H(12E)…Br(5C)' 2.68, H(12F)…Br(4B)' (x, y, z–1) 3.16, H(12F)…Br(1B)' (x, 0.5–y, –0.5+z) 2.97, H(10C)…Br(4B)' (x, y, z–1) 2.90, H(12G)…Br(5C)' 2.02, H(12H)…Br(5)' (x, 0.5–y, –0.5+z) 2.87, H(12H)…Br(6)' (x, 0.5–y, –0.5+z) 2.93, H(12H)…Br(5A)' (x, 0.5–y, –0.5+z) 3.12, H(12H)…Br(6A)' (x, 0.5–y, –0.5+z) 2.87, H(12H)…Br(6B)' 3.07, H(12H)…Br(5C)' 2.27, H(11E)…Br(5C)' 2.89, H(11E)…Br(3B)' (x, y, z–1) 2.94, H(11E)…Br(4B)' (x, y, z–1) 3.17, H(11F)…Br(2A)' (x, y, z–1) 2.96, H(15D)…Br(4B)' 3.18 Å, H(17A)…Br(3B)' (x, 1.5–y, –0.5+z) 2.90, H(18C)…Br(2A)' (x, y, z–1) 3.06, Br(2A)…Br(5)' (x, 0.5–y, 0.5+z) 2.90 (3.94 Å), Br(2A)…Br(5A)' (x, 0.5–y, 0.5+z) 3.28, Br(2A)…Br(5B)' (x, 0.5–y, 0.5+z) 3.38, Br(2A)…Br(5C)' (x, y, 1+z) 3.56, Br(2B)…Br(6)' 2.89, Br(2B)…Br(6A)' 3.30, Br(2B)…Br(6B)' 3.45, Br(2B)…Br(5C)' 2.96 Å. В кристалле анионы Br₃[–] и нейтральные молекулы Br₂ образуют трёхмерную сетку.

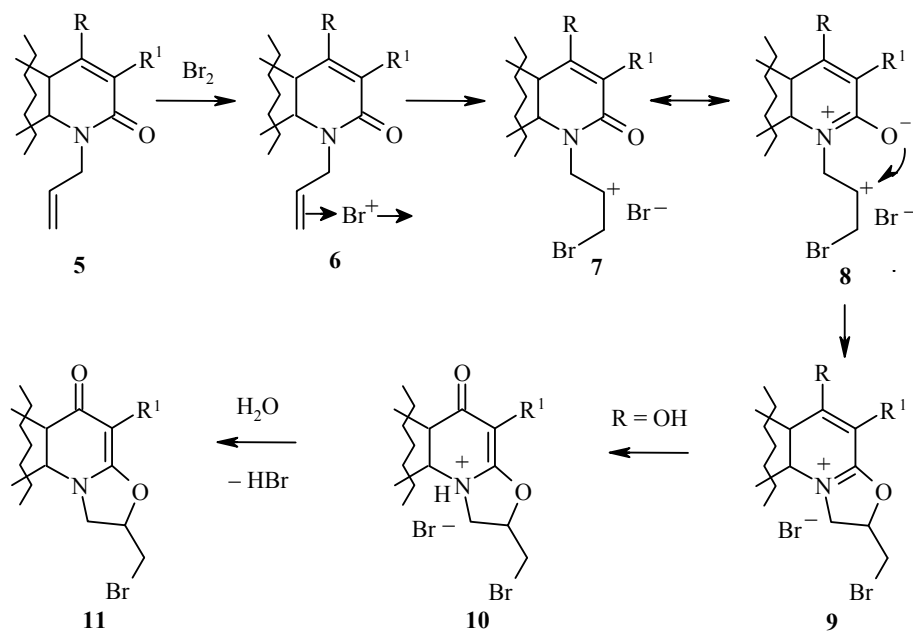
Таким образом, по результатам проведенного РСА выявлены две новые особенности протекания реакции N(1)-аллилзамещённых 4-гидроксихинолонов-2 с молекулярным бромом. Первая из них представляет собой способность уже сформировавшихся оксазолохинолинов связывать имеющийся в реакционной смеси свободный бром. Для проявления этого эффекта избыточное количество брома совсем не обязательно, поскольку образование незначительных количеств не растворимых в ледяной уксусной кислоте оранжевых продуктов (очевидно схожих по строению с дитрибромидом дихинолиния **4**) неоднократно наблюдалось нами ранее и при строгом соблюдении эквимолярных соотношений реагентов.

Особенно часто это происходит при работе с чистым бромом и, скорее

всего, в таких случаях место имеет всё тот же избыток брома, но только местный. Впрочем, предотвращать данный побочный процесс несложно – для этого достаточно вводить в реакцию не чистый бром, а его разбавленный раствор.

Вторая особенность более интересна. Связана она с необычным 5-гидроксистроением образовавшегося вещества и позволяет внести корректировки в трактовку механизма бромциклизации N(1)-аллилхинолонов-2. Поскольку до настоящего времени из 4-гидроксипроизводных получали исключительно 5-оксо-1,2-дигидрооксазоло[3,2-*a*]хинолины, считалось, что гетероциклизация проходит через биполярные 1,4-дигидроформы [8]. Позже, однако, выяснилось, что заведомо не способные к подобной таутомерии 4-метилзамещённые аналоги галогенциклируются также легко. В результате для таких случаев был предложен отдельный механизм, предполагающий участие в процессе формирования оксазольного ядра уже совершенно иных по строению ароматических биполярных форм [9].

И только неоспоримый факт выделения 5-гидроксиоксазолохинолина **4**, практически идентичного по строению бромиду 2-бромметил-4-карбокси-5-метил-1,2-дигидрооксазоло[3,2-*a*]хинолиния [9], можно рассматривать как первое экспериментальное подтверждение того, что бромциклизация 4-гидрокси- и 4-метилзамещённых N(1)-аллилхинолонов-2 проходит по единому механизму: алильное производное **5** → π-комплекс **6** → вторичный карбкатион **7** ↔ биполярная ароматическая форма **8** → бромид оксазолохинолиния **9**.



Влияние заместителя в положении 4 исходного хинолина **5** сказывается только лишь на заключительной стадии. Бромиды 5-гидроксиоксазоло-

хинолиния **9** ($R = OH$) таутомеризуются в, очевидно, более устойчивые 5-оксоформы **10**, которые после разбавления реакционной смеси водой быстро гидролизуются до 5-оксо-1,2-дигидро-5Н-оксазоло[3,2-*a*]хинолинов **11**. Дитрибромид дихинолиния **4** в силу специфики своего строения оказался достаточно устойчивым и в 5-гидроксиформе. Тем не менее, после его обработки ацетоном (для связывания избыточного брома) и далее водой получен типичный для бромциклизации 4-гидроксихинолонов продукт – изопропиламид 2-бромметил-7,8-диметокси-5-оксо-1,2-дигидро-5Н-оксазоло[3,2-*a*]хинолин-4-карбоновой кислоты (**3**). 5-Метилзамещённые бромиды оксазолохинолиния **9** ($R = Me$) к подобной трансформации не способны и после добавления воды остаются неизменными [9].

Аналгетические свойства алкиламидов 1-аллил-4-гидрокси-6,7-диметокси-2-оксо-1,2-дигидрохинолин-3-карбоновой кислоты **1a–x** изучали на беспородных белых крысах-самцах с использованием детально описанной нами ранее [3] стандартной модели раздражения электрическим током слизистой оболочки прямой кишки [10]. Анализ результатов скрининговых испытаний, представленных в табл. 1, убедительно подтверждает правильность выбранного нами направления – в дозе 20 мг/кг все без исключения алкиламиды **1a–x** в той или иной степени проявляют анальгетическое действие. При этом примерно половина изученных образцов практически не уступают в активности Диклофенаку. Но из всей группы следует особо отметить только одно вещество – 2-гидроксиэтиламид **1q**, который по обезболивающему эффекту значительно превосходит не только диклофенак, но и один из наиболее мощных ненаркотических анальгетиков кеторолак [11, 12].

ЭКСПЕРИМЕНТАЛЬНАЯ ЧАСТЬ

Спектры ЯМР 1H алкиламидов **1a–x** записаны на приборе Varian Mercury VX-200 (200 МГц), оксазолохинолинов **3** и **4** – на спектрометре Varian Mercury-400 (400 МГц). Во всех случаях растворитель $DMSO-d_6$, внутренний стандарт ТМС. Исходный метиловый эфир 1-аллил-4-гидрокси-6,7-диметокси-2-оксо-1,2-дигидрохинолин-3-карбоновой кислоты (**2**) синтезирован по методике работы [2], а его последующее амидирование алкиламиналами проведено по методике работы [4].

Изопропиламид 2-бромметил-7,8-диметокси-5-оксо-1,2-дигидро-5Н-оксазоло[3,2-*a*]хинолин-4-карбоновой кислоты (3). Раствор 1.49 г (1 ммоль) дитрибромида дихинолиния **4** в 15 мл ацетона нагревают до кипения, прибавляют 10 мл воды и оставляют на 5–6 ч при температуре ~ 10 °C. Осадок изо-пропиламида **3** отфильтровывают, промывают холодной водой, сушат. Выход 0.61 г (72%). После перекристаллизации из этанола получают бесцветные триклиновые кристаллы с т. пл. 269–271 °C. Спектр ЯМР 1H , δ, м. д. (J , Гц): 10.12 (1H, д, $J = 7.9$, NH); 7.56 (1H, с, H-6); 6.90 (1H, с, H-9); 5.57 (1H, м, CHO); 4.64 (1H, т, $J = 8.0$, NCH); 4.30 (1H, т, $J = 8.0$, NCH); 4.03 (3H, м, $CH_2-Br + CH(CH_3)_2$); 3.96 (3H, с, OCH_3); 3.87 (3H, с, OCH_3); 1.19 (6H, д, $J = 7.9$, $CH(CH_3)_2$).

Смешанная проба с образцом изопропиламида **3**, синтезированным бромциклизацией 1N-аллильного производного **1e** [5], не даёт депрессии температуры

плавления, спектры ЯМР ^1H этих соединений идентичны.

Дитрибромид ди(2-бромметил-5-гидрокси-7,8-диметокси-4-изопропилкарбамоил-1,2-дигидрооксазоло[3,2-*a*]хинолиния) (комплекс с бромом) (4). К раствору 3.46 г (10 ммоль) изопропиламида 1-аллил-4-гидрокси-6,7-диметокси-2-оксо-1,2-дигидрохинолин-3-карбоновой кислоты (**1e**) в 50 мл ледяной уксусной кислоты при интенсивном перемешивании прибавляют раствор 2.6 мл (50 ммоль) брома в 10 мл того же растворителя. Выделившийся оранжевый осадок соединения **4** отфильтровывают, промывают ледяной уксусной кислотой, сушат. Выход 6.49 г (87%). Т. пл. 128–130 °C. Спектр ЯМР ^1H , δ, м. д. (*J*, Гц): 8.85 (1H, уш. с, NH); 7.56 (1H, с, H-6); 7.13 (1H, с, H-9); 5.77 (1H, м, CHO); 4.87 (1H, т, *J* = 10.0, NCH); 4.58 (1H, т, *J* = 10.0, NCH); 4.16 (1H, м, CH(CH₃)₂); 4.08 (2H, т. д, *J* = 8.8 и *J* = 4.0, CH₂Br); 4.04 (3H, с, OCH₃); 3.93 (3H, с, OCH₃); 1.27 (6H, д, *J* = 8.0, CH(CH₃)₂). Найдено, %: C 28.74; H 2.72; N 3.60. (C₁₈H₂₂BrN₂O₅)⁺₂ · (Br₃)₂ · Br₂. Вычислено, %: C 28.98; H 2.97; N 3.76.

Рентгеноструктурное исследование дитрибромида дихинолиния 4.

Кристаллы моноклинные (AcOH), при –173 °C: *a* = 31.882(3), *b* = 18.831(2), *c* = 7.897(1) Å, β = 90.14(1)°, *V* = 4741.1(8) Å³, *M_r* = 745.93, *Z* = 8, пространственная группа *P2₁/c*, *d_{выч}* = 2.090 г/см³, μ(MoKα) = 8.508 мм⁻¹, *F*(000) = 2872. Параметры элементарной ячейки и интенсивности 31538 отражений (8345 независимых, *R_{int}* = 0.065) измерены на дифрактометре Xcalibur-3 (MoKα излучение, CCD-детектор, графитовый монохроматор, ω-сканирование, 2θ_{max} = 50°). Поглощение учтено аналитически (T_{min} = 0.154, T_{max} = 0.778).

Структура расшифрована прямым методом по комплексу программ *SHELXTL* [13]. При уточнении структуры налагались ограничения на длины связей в разупорядоченном фрагменте молекулы катиона O—C_{sp3} 1.44 Å и C_{sp3}—C_{sp3} 1.54 Å. Положения атомов водорода рассчитаны геометрически и уточнены по модели "наездника" с *U_{iso}* = *nU_{eq}* неводородного атома, связанного с данным атомом водорода (*n* = 1.5 для метильных групп и *n* = 1.2 для остальных атомов водорода). Структура уточнена по *F*² полноматричным МНК в анизотропном приближении для неводородных атомов до *wR*₂ = 0.146 по 8061 отражению (*R*₁ = 0.085 по 6673 отражениям с *F* > 4σ (*F*), *S* = 1.166). Полная кристаллографическая информация депонирована в Кембриджском банке структурных данных – депонент CCDC 756719. Межатомные расстояния и валентные углы представлены в табл. 3 и 4 соответственно.

СПИСОК ЛИТЕРАТУРЫ

1. И. В. Украинец, Е. В. Моспанова, А. А. Давиденко, А. А. Ткач, О. В. Горохова, *XGC*, 1173 (2010).
 2. И. В. Украинец, Л. В. Сидоренко, А. А. Давиденко, А. К. Ярош, *XGC*, 560 (2010). [*Chem. Heterocycl. Comp.*, **46**, 445 (2010)].
 3. И. В. Украинец, А. А. Давиденко, Е. В. Моспанова, Л. В. Сидоренко, Е. Н. Свечникова, *XGC*, 706 (2010). [*Chem. Heterocycl. Comp.*, **46**, 559 (2010)].
 4. И. В. Украинец, Н. Л. Березнякова, Е. В. Моспанова, *XGC*, 1015 (2007). [*Chem. Heterocycl. Comp.*, **43**, 856 (2007)].
 5. S. V. Shishkina, O. V. Shishkin, I. V. Ukrainets, N. L. Bereznayakova, A. A. Davidenko, *Acta Crystallogr.*, **E64**, o1031 (2008).
 6. Ю. В. Зефиров, *Кристаллография*, **42**, 936 (1997).
-
7. H.-B. Burgi, J. D. Dunitz, *Structure Correlation*, VCH, Weinheim, 1994, vol. 2,

- п. 741.
8. И. В. Украинец, Л. В. Сидоренко, О. В. Горохова, С. В. Шишкина, А. В. Туров, *XГС*, 736 (2007). [*Chem. Heterocycl. Comp.*, **43**, 617 (2007)].
 9. И. В. Украинец, Н. Л. Березнякова, В. А. Паршиков, А. В. Туров, *XГС*, 1496 (2007). [*Chem. Heterocycl. Comp.*, **43**, 1269 (2007)].
 10. Л. Н. Сернов, В. В. Гацура, *Элементы экспериментальной фармакологии*, ППП Типография "Наука", Москва, 2000, с. 41.
 11. М. Д. Машковский, *Лекарственные средства*, РИА Новая волна, издатель Умеренков, Москва, 2009, с. 162.
 12. A. Kleemann, J. Engel, *Pharmaceutical Substances. Synthesis, Patents, Applications, Multimedia Viewer*, Version 2.00, Georg Thieme Verlag, Stuttgart, 2001.
 13. G. M. Sheldrick, *SHELXTL PLUS. PC Version. A System of Computer Programs for the Determination of Crystal Structure from X-ray Diffraction Data*. Rev. 5.1 (1998).

Национальный фармацевтический университет,
Харьков 61002, Украина
e-mail: uiv@kharkov.ua

Поступило 01.07.2009

^aИнститут химических технологий
Восточно-украинского национального университета
им. Владимира Даля, Рубежное 93003, Украина
e-mail: mospanov@rune.lg.ua

^bВинницкий национальный медицинский университет
им. Н. И. Пирогова, Винница 21018, Украина
e-mail: almusel@mail.ru

^cHTK "Институт монокристаллов"
НАН Украины, Харьков 61001, Украина
e-mail: sveta@xray.isc.kharkov.com
